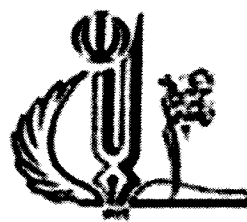


نام خدا

۱۸۹۷-۱۸۹۸



دانشگاه تبریز

دانشکده فنی - مهندسی عمران

گروه خاک و پی

پایان نامه

برای دریافت درجه کارشناسی ارشد در رشته مهندسی عمران - مکانیک خاک و پی

عنوان

مطالعه پارامتریک رفتار ریز شمع مایل تحت اثر بار استاتیکی قائم

استاد راهنما

سید علی‌احماد مژعلی

دکتر توحید اخلاقی

استاد مشاور

۱۳۸۹/۹/۲۸

دکتر محمد حسین امین‌فر

پژوهشگر

آیدین رسائی

شهریور ۱۳۸۹

دیدم زنده از آنیم که دم زنده از اوست دم زن از عشق وجودی که عدم زنده از اوست
آفرینش قلم اندازش و عشق رقی است آفرینش به قلم کن که رقم زنده از اوست

(استاد شیراز)

تَسْدِيمٌ بِهِ

پیشگاه مادر عزیز و در نزد کو ارم
پ

تقدیر و شکر

نام ایزدیکتا

بدین وسیله از کلیه معلمین و مدرسان که در امر آموزش در حق ایجاد ب محمل زحمت کردیده اند کمال شکر و

قدرتانی را دارم.

ضمناً از اساتید عزیزو کرامی که در انشگاه به من علم آموخته و با کمال محبت باعث گردیده اند که این پایان نامه به اتمام

بر سر قدردانی کرده و دست بوس هستم امیدوارم دعاهای خیرشان را هشتای زنگنهیم باشد.

د خاتمه از جناب آقای دکتر توحید اخلاقی استاد معظم و استاد راهنمای معزز که در کرد آوری این مجموعه چراغ را همانیم

بودند مینهایت پاسخندارم.

نام خانوادگی: رسائی نام: آیدین

عنوان پایان نامه: مطالعه پارامتریک رفتار ریز شمع مایل تحت اثر بار استاتیکی قائم

استاد راهنمای: دکتر توحید اخلاقی

استاد مشاور: دکتر محمد حسین امین فر

مقطع تحصیلی: کارشناسی ارشد رشته: مهندسی عمران گرایش: خاک و پی دانشگاه: تبریز

دانشکده: فنی مهندسی عمران تاریخ فارغ التحصیلی: ۱۳۸۹/۰۶/۳۰ تعداد صفحه: ۱۶۷

کلمات کلیدی: ریز شمع مایل، نشت قائم، تحلیل غیر خطی، موهر- کولمب، بار قائم

چکیده:

ریز شمع ها، شمع های لوله ای کوچک با قطر کمتر از ۳۰۰ میلی متر هستند که با حفر گمانه، تسلیح فولادی سبک و تزریق دوغاب اجرا می شوند. اساساً ریز شمع ها بعنوان المان هایی بمنظور تقویت پی سازه های جدید و مقاوم سازی پی سازه های موجود، مورد استفاده قرار می گیرند. با توجه به تازگی و در عین حال مزایای بسیار این سیستم، لزوم مطالعات بیشتر در زمینه ارزیابی رفتار سیستم ریز شمع - خاک و اندرکنش آن آشکار می گردد. در این پایان نامه به بررسی اثر پارامترهای زاویه اصطکاک داخلی و چسبندگی خاک و زاویه میل، طول و قطر ریز شمع بر پاسخ سیستم ریز شمع - خاک پرداخته شده است. رفتار ریز شمع مایل تحت اثر بار استاتیکی قائم، با استفاده از نرم افزار اجزای محدود Abaqus، تحت تحلیل غیر خطی، مورد بررسی قرار گرفته است. مدل رفتاری برای محیط خاک و خاک ثبیت شده، مدل موهر- کولمب و برای غلاف فولادی، بتن و آرماتور، بصورت الاستیک در نظر گرفته شده است. مطالعات انجام شده نشان می دهد که افزایش زاویه اصطکاک داخلی و چسبندگی خاک و قطر و طول ریز شمع سبب کاهش نشت قائم شده و در مقایسه پارامترهای طول و قطر بمنظور تأثیر بیشینه، افزایش قطر نسبت به طول ارجح است. مطالعه تأثیر تغییرات زاویه میل بر ریز شمع مبنی و تأثیر تغییرات دو پارامتر طول و زاویه میل بر ریز شمع به قطر ۷۸ میلی متر با لحاظ معیار حداقل نشت، نشان می دهد که در حالت اول زاویه میل 15° و در حالت دوم زاویه میل 20° ، در خاک ماسه سیلتی از شرایط بهتری برخوردار است. توصیه می گردد حد الامکان ریز شمع های مایل در خاک مذکور در محدوده 15° الی 20° اجرا شوند.

در بررسی اندرکنش سیستم، با افزایش قطر و زاویه میل ریز شمع، لنگر خمی سیر صعودی داشته و طول گیر داری پای ریز شمع کاهش می یابد و با افزایش پارامتر طول، لنگر خمی افزایش، ولی تأثیری در میزان طول گیر داری ندارد. با افزایش زاویه اصطکاک داخلی و چسبندگی خاک حد اکثر لنگر خمی بوجود آمده نیز افزایش می یابد. در ادامه مجموعه نتایج حاصل منحنی های طراحی ریز شمع های مایل ارائه گردیده است.

فهرست مطالب

صفحه

عنوان

چکیده

فهرست جداول

فهرست اشکال

فصل اول - کلیات

۱	۱-۱- مقدمه
۳	۲-۱- بیان مساله
۳	۳-۱- اهداف پژوهش
۴	۴-۱- روش و محدوده پژوهش
۴	۵-۱- فصول پایان نامه

فصل دوم - مروری بر ادبیات فنی و پیشینه پژوهش

۶	۱-۲- مقدمه
۶	۲-۲- ریزشمع ها
۸	۱-۲-۲- تاریخچه
۱۱	۲-۲-۲- سیستم طبقه بندی ریزشمع ها
۱۱	۱-۲-۲-۲- انواع ریزشمع
۱۲	۱-۲-۲-۲- طبقه بندی براساس کاربری طراحی
۱۴	۲-۱-۲-۲-۲- طبقه بندی براساس نحوه اجرا
۱۷	۳-۲-۲- دامنه کاربرد ریزشمع ها
۱۹	۱-۳-۲-۲- تکیه گاه سازه ای
۲۳	۲-۳-۲-۲- مقاوم سازی درجا (پایداری شیروانی ها و محافظت خاک)
۲۶	۳-۳-۲-۲- معیار های مؤثر در انتخاب ریزشمع ها
۲۷	۱-۳-۳-۲-۲- ملاحظات فیزیکی
۲۸	۲-۳-۳-۲-۲- شرایط زیر سطحی

فهرست مطالب

	عنوان
	صفحه
۲۹	۲-۲-۳-۲-۲-۲-۳-۲-۳-۲-۴- شرایط محیطی
۳۱	۲-۳-۲-۴- سازگاری با سازه‌های موجود
۳۲	۲-۳-۲-۳-۵- محدودیت‌های ریزشمع‌ها
۳۳	۲-۳-۲-۳-۲-۳-۲-۴- مطالعات آزمایشگاهی
۳۸	۲-۴- مدل‌سازی عددی ریزشمع‌ها
۴۷	۲-۵- اندرکنش سیستم خاک- ریزشمع تحت اثر بار استاتیکی
۴۷	۲-۱-۵- مقدمه
۴۷	۲-۵-۲- اصطکاک بین شمع و خاک
۰۱	۲-۵-۲- نیروهای پس‌ماند در شمع
۰۴	۲-۴-۵-۲- صفحه‌ختنی
۰۹	۲-۶- طراحی ریزشمع‌ها
۰۹	۲-۱-۶-۲- مقدمه
۰۹	۲-۶-۲- ملاحظات طراحی ژئوتکنیکی
۰۹	۲-۱-۲-۶-۲- ضریب چسبندگی دوغاب- زمین (Bond Nominal Strength)
۶۱	۲-۲-۶-۲- محاسبات ژئوتکنیکی طول ناحیه اتصال تحت بار محوری مجاز (روش SLD)
۶۱	۲-۳-۲-۶-۲- محاسبات ژئوتکنیکی طول ناحیه اتصال تحت بار محوری مجاز (روش LFD)
۶۱	۲-۳-۶-۲- ملاحظات طراحی سازه‌ای ریزشمع
۶۳	۲-۱-۳-۶-۲- محاسبه طول غلاف دار ریزشمع تحت بار محوری مجاز (روش SLD)
۶۴	۲-۲-۳-۲-۶- محاسبه طول غلاف دار ریزشمع تحت بار محوری مجاز (روش LFD)
۶۴	۲-۳-۲-۳-۶- محاسبه طول بدون غلاف ریزشمع تحت بار محوری مجاز (روش SLD)
۶۵	۲-۴-۳-۲-۶- محاسبه طول بدون غلاف ریزشمع تحت بار محوری مجاز (روش LFD)

فصل سوم- مواد و روش‌ها

۶۶	۳-۱-۱- مقدمه
۶۶	۳-۲- معرفی نرم‌افزار مورد استفاده
۶۸	۳-۲-۱-۱-۲-۳- Part
۶۹	۳-۱-۱-۲-۳-۱- روش‌های ترسیم هندسه مدل
۷۱	۳-۲-۲-۲-۳-۱- مدول Property

فهرست مطالب

صفحة	عنوان
٧١	۱-۲-۲-۳- تعریف مشخصات مصالح
٧٦	۲-۲-۲-۳- اختصاص مشخصات مصالح
٧٧	۳-۲-۳- مدول Assembly
٧٨	۴-۲-۳- مدول Step
٧٩	۱-۴-۲-۳- آنالیزهای پرکاربرد
٨٢	۵-۲-۳- مدول Interaction
٨٤	۶-۲-۳- مدول Load
٨٤	۱-۶-۲-۳- بارگذاری
٨٦	۲-۶-۲-۳- شرایط مرزی
٨٧	۷-۲-۳- مدول Mesh
٨٧	۱-۷-۲-۳- تعیین شکل المان و تکنیک مشبندی
٨٩	۲-۷-۲-۳- اختصاص ابعاد و تعداد المانهای مش
٩١	۸-۲-۳- مدول Job
٩١	۹-۲-۳- مدول Visualization
٩٣	۳-۳- معرفی مصالح مورد استفاده
٩٣	۱-۳-۳- خاک
٩٤	۲-۳-۳- ریزشمع
٩٥	۴-۳- مدلسازی مصالح
٩٥	۱-۴-۳- تعریف عمومی تنش
٩٨	۲-۴-۳- تعریف کلی کرنش
۱۰۰	۳-۴-۳- کرنش‌های کشسان
۱۰۱	۴-۴-۳- مدل موهر- کولمب
۱۰۲	۱-۴-۴-۳- رفتار کشسان- خمیری کامل
۱۰۴	۲-۴-۴-۳- فرمول سازی مدل موهر- کولمب
۱۰۶	۳-۴-۴-۳- پارامترهای اصلی مدل موهر- کولمب
۱۱۰	۵-۳- مدلسازی مسئله
۱۱۰	۱-۵-۳- هندسه مدل
۱۱۲	۲-۵-۳- اختصاص خواص مواد

فهرست مطالب

	عنوان
	صفحه
۱۱۲	-۳-۵-۳- مونتاژ قطعات
۱۱۳	-۴-۵-۳- تعریف مراحل حل
۱۱۴	-۵-۵-۳- سطح تماس
۱۱۴	-۶-۵-۳- اعمال شرایط مرزی و بارگذاری
۱۱۵	-۷-۵-۳- مش بندی
۱۱۷	-۸-۵-۳- حل مسئله
۱۱۷	-۹-۵-۳- مشاهده نتایج خروجی
۱۱۹	-۳- صحت سنجی مدل‌سازی عددی
۱۲۴	-۷-۳- آنالیز حساسیت
۱۲۴	-۱-۷-۳- شعاع خاک
۱۲۵	-۲-۷-۳- عمق خاک
۱۲۵	-۳-۷-۳- مش بندی مدل
۱۲۷	-۸-۳- محاسبات بار مجاز ریزشمع

فصل چهارم- بحث و نتایج

۱۲۹	-۱-۴- مقدمه
۱۳۱	-۲-۴- قطر ریزشمع
۱۳۱	-۱-۲-۴- تاثیر قطر ریزشمع بر پاسخ سیستم ریزشمع- خاک
۱۳۵	-۳-۴- طول ریزشمع
۱۳۶	-۱-۳-۴- تاثیر طول ریزشمع بر پاسخ سیستم ریزشمع- خاک
۱۴۰	-۴-۴- زاویه میل ریزشمع
۱۴۱	-۱-۴-۴- تاثیر زاویه میل ریزشمع بر پاسخ سیستم ریزشمع- خاک
۱۴۵	-۴-۲-۴- بررسی اثر تغییرات پارامترهای طول و زاویه میل بر ریزشمع با قطر ۷۸ میلی‌متر
۱۵۳	-۵-۴- زاویه اصطکاک داخلی
۱۵۳	-۱-۵-۴- تاثیر زاویه اصطکاک داخلی خاک بر پاسخ سیستم ریزشمع- خاک
۱۵۶	-۶-۴- چسبندگی
۱۵۷	-۱-۶-۴- تاثیر چسبندگی خاک بر پاسخ سیستم ریزشمع- خاک

فهرست مطالب

صفحه

عنوان

فصل پنجم - نتیجه‌گیری و ارائه پیشنهادات

۱۶۱

۱-۵ - نتیجه‌گیری

۱۶۳

۲-۵ - پیشنهادات

۱۶۴

منابع

فهرست جداول

صفحه

عنوان

۱۶	جدول (۱-۲): جزئیات طبقه‌بندی ریزشمع بر اساس روش تزریق
۱۸	جدول (۲-۲): ارتباط بین کاربرد، رفتار مبنای طراحی و نوع اجرای ریزشمع‌ها
۳۷	جدول (۳-۲): ضریب کارایی گروه ریزشمع در ماسه فونتینوبیلو در پروژه فورور
۶۰	جدول (۴-۲): مقاومت اسمی اتصال دوغاب- زمین
۹۳	جدول (۱-۳): مشخصات خاک مبنا
۹۴	جدول (۲-۳): مشخصات خاک ثبیت شده
۹۴	جدول (۳-۳): مشخصات ریزشمع مبنا
۱۱۹	جدول (۴-۳): مشخصات شمع و خاک مدل‌سازی شده توسط امید علی و همکاران
۱۲۱	جدول (۵-۳): مشخصات خاک آزمایش Russo
۱۲۱	جدول (۶-۳): مشخصات ریزشمع آزمایش Russo
۱۲۳	جدول (۷-۳): مشخصات ریزشمع مدل شده توسط سهیل نیازمند
۱۲۷	جدول (۸-۳): پارامترهای مورد نیاز جهت محاسبات ظرفیت باربری
۱۲۹	جدول (۱-۴): محدوده تغییرات پارامترهای مورد مطالعه

فهرست اشکال

صفحه	عنوان
٧	شکل (۱-۲): مراحل اجرای ریزشمع
٩	شکل (۲-۲): سازه تقویت شده با شمع ریشه‌ای
۱۰	شکل (۳-۲): نمونه شمع ریشه‌ای مجتمع
۱۲	شکل (۴-۲): ریزشمع‌های نوع یک
۱۳	شکل (۵-۲): ریزشمع‌های نوع دو
۱۴	شکل (۶-۲): طبقه بندی ریزشمع بر اساس روش‌های مختلف تزریق
۱۷	شکل (۷-۲): طبقه‌بندی بر اساس کاربرد ریزشمع‌ها
۲۲	شکل (۸-۲): نحوه تقویت پل پوکوموک ریور در مریلند
۲۴	شکل (۹-۲): شکل متدال دیواره شمع‌های مایل
۲۶	شکل (۱۰-۲): پایداری شیروانی بخشی از مسیر استیت رود ۴۰۲۳، منطقه ارمستانگ کانتی، پنسیلوانیا
۲۸	شکل (۱۱-۲): اجرای ریزشمع‌ها در شرایطی با ارتفاع بالاسری کم
۳۱	شکل (۱۲-۲): محافظت از یک دیوار دیافراگمی به کمک شبکه متقطع ریزشمع‌ها با استفاده از دوغاب ضد اسید
۳۵	شکل (۱۳-۲): شکل شماتیک آزمایش سانتریفیوژ جران و همکاران
۳۶	شکل (۱۴-۲): شکل شماتیک آزمایش سانتریفیوژ ماساشی و همکاران
۳۸	شکل (۱۵-۲): شبکه اجزای محدود برای شمع منفرد، اوستا و همکاران
۴۰	شکل (۱۶-۲): مدل مشبندی بکار رفته در تحلیل اندرکنش سیستم خاک- ریزشمع- سازه
۴۱	شکل (۱۷-۲): شبکه اجزای محدود پی ریزشمعی مسلح
۴۸	شکل (۱۸-۲): رفتار شمع تحت بار محوری در شش حالت مختلف بارگذاری
۵۱	شکل (۱۹-۲): توابع انتقال برای حالت‌های مختلف توزیع مقاومت اصطکاکی
۵۳	شکل (۲۰-۲): توزیع نیروی محوری در شمع
۵۵	شکل (۲۱-۲): روش تعیین محل صفحه خشی
۵۶	شکل (۲۲-۲): نمودارهای بار- تغییر مکان برای نشان دادن وابستگی محل تشکیل صفحه خشی به نشست
۶۱	شکل (۲۳-۲): جزئیات ریزشمع برای طراحی
۶۷	شکل (۱-۳): مراحل مدل‌سازی
۶۸	شکل (۲-۳): انتخاب مشخصات Part
۶۹	شکل (۳-۳): انواع روش Extrude
۶۹	شکل (۴-۳): انواع روش Revolution
۷۰	شکل (۵-۳): انواع روش Sweep
۷۰	شکل (۶-۳): قابلیت‌های رسم و اصلاح هندسه مدل

فهرست اشکال

صفحه	عنوان
۷۱	شکل (۷-۳): کاربردهای دستور Cut
۷۲	شکل (۸-۳): پنجره Edit material
۷۲	شکل (۹-۳): تنظیمات مدل رفتاری Elastic
۷۲	شکل (۱۰-۳): مدل‌های رفتاری Plastic
۷۴	شکل (۱۱-۳): تنظیمات مربوط به مدل رفتاری Mohr Coulomb Plasticity
۷۵	شکل (۱۲-۳): تعریف سایر مشخصات مواد
۷۶	شکل (۱۳-۳): ایجاد Section
۷۶	شکل (۱۴-۳): ایجاد پروفیل
۷۷	شکل (۱۵-۳): مونتاژ قطعات
۷۹	شکل (۱۶-۳): تعیین نوع مراحل حل
۸۰	شکل (۱۷-۳): آنالیز Soils
۸۱	شکل (۱۸-۳): ناپایداری قابل حل توسط آنالیز Static,Riks
۸۱	شکل (۱۹-۳): آنالیز Static,Riks
۸۲	شکل (۲۰-۳): تعیین نتایج خروجی
۸۲	شکل (۲۱-۳): تعیین نوع تماس
۸۳	شکل (۲۲-۳): تعریف ویژگی‌های اندرکنش اصطکاکی
۸۴	شکل (۲۳-۳): تعیین نوع تماس و رفتار تماسی
۸۵	شکل (۲۴-۳): بارگذاری‌های گروه Mechanical
۸۶	شکل (۲۵-۳): بارگذاری‌های ممکن در آنالیزهای Soils و Geostatic
۸۶	شکل (۲۶-۳): تعیین نوع شرایط مرزی
۸۷	شکل (۲۷-۳): تعیین نوع مونتاژ و انتخاب قطعه
۸۷	شکل (۲۸-۳): انتخاب شکل المان و روش مش‌بندی برای المان‌های دو و سه‌بعدی
۸۸	شکل (۲۹-۳): انواع Element Shape برای المان دو بعدی
۸۸	شکل (۳۰-۳): انواع Element Shape برای المان سه بعدی
۸۹	شکل (۳۱-۳): دانه‌بندی المان
۹۰	شکل (۳۲-۳): انواع تکنیک‌های دانه بندی
۹۱	شکل (۳۳-۳): تعیین نوع المان مش و ویژگی‌های آن
۹۰	شکل (۳۴-۳): Element Shapes Linear or Quadratic
۹۲	شکل (۳۵-۳): خروجی نتایج به شکل کتور
۹۲	شکل (۳۶-۳): خروجی نتایج به شکل نمودار
۹۳	شکل (۳۷-۳): خروجی نتایج به شکل جدول
۹۳	شکل (۳۸-۳): خروجی نتایج به شکل برداری

فهرست اشکال

صفحه	عنوان
٩٦	شکل (٣٩-٣): مختصات سه بعدی و جهت علامت تنش
٩٧	شکل (٤٠-٣): فضای تنش اصلی
١٠٣	شکل (٤١-٣): ایده پایه مدل کشسان - خمیری کامل
١٠٥	شکل (٤٢-٣): سطح تسلیم موهر - کولمب در فضای تنش اصلی ($C=0$)
١٠٧	شکل (٤٣-٣): تعریف E_0 و E_{50} برای نتایج آزمایش سه محوری استاندارد
١٠٩	شکل (٤٤-٣): دایره تنش در حالت تسلیم و پوش کولمب
١١٠	شکل (٤٥-٣): ایجاد مدل خاک
١١١	شکل (٤٦-٣): محیط خاک اطراف
١١١	شکل (٤٧-٣): ریزشمع و زون تثبیت شده اطراف آن
١١٢	شکل (٤٨-٣): مدل خاک و ریزشمع پس از اختصاص مصالح
١١٣	شکل (٤٩-٣): دستورات لازم جهت مونتاژ قطعات
١١٣	شکل (٥٠-٣): چگونگی مونتاژ قطعات
١١٤	شکل (٥١-٣): بارگذاری سر ریزشمع
١١٤	شکل (٥٢-٣): شرایط مرزی محیط خاک
١١٥	شکل (٥٣-٣): مشبندی ریزشمع و زون تثبیت شده
١١٦	شکل (٥٤-٣): تنظیمات نوع المان مش ریزشمع و زون تثبیت شده
١١٥	شکل (٥٥-٣): مشبندی محیط خاک
١١٦	شکل (٥٦-٣): تنظیمات نوع المان مش خاک
١١٧	شکل (٥٧-٣): تغییر شکل سیستم ریزشمع - خاک تحت اثر بار قائم
١١٨	شکل (٥٨-٣): تغییر شکل خاک تحت اثر بار قائم
١١٨	شکل (٥٩-٣): تغییر شکل ریزشمع تحت اثر بار قائم
١٢٠	شکل (٦٠-٣): منحنی های بار - جابه جایی شمع قائم
١٢٠	شکل (٦١-٣): منحنی های بار - جابه جایی شمع مایل
١٢٢	شکل (٦٢-٣): منحنی های بار - جابه جایی حاصل از آزمایش و تحلیل عددی
١٢٢	شکل (٦٣-٣): مقایسه منحنی های بار - جابه جایی نتایج تحلیل عددی
١٢٤	شکل (٦٤-٣): منحنی های بار - جابه جایی آنالیز حساسیت شعاع
١٢٥	شکل (٦٥-٣): منحنی های بار - جابه جایی آنالیز حساسیت عمق خاک
١٢٦	شکل (٦٦-٣): منحنی های بار - جابه جایی آنالیز حساسیت مش
١٣٠	شکل (١-٤): شبکه اجزای محدود مدل سیستم ریزشمع - خاک
١٣٠	شکل (٢-٤): منحنی بار - جابه جایی قائم ریزشمع مبنای
١٣١	شکل (٣-٤): تاثیر تغییرات قطر بر منحنی های بار - جابه جایی قائم
١٣٢	شکل (٤-٤): نمودار تاثیر تغییرات قطر بر نشست قائم ریزشمع

فهرست اشکال

صفحه	عنوان
١٣٢	شكل (٥-٤): نمودار تاثیر تغییرات قطر بر بار قائم مجاز ریزشمع
١٣٣	شكل (٦-٤): منحنی های تغییرات لنگر خمی در طول ریزشمع
١٣٤	شكل (٧-٤): نمودار تاثیر تغییرات قطر بر لنگر خمی ماکریم تحت بار مجاز
١٣٥	شكل (٨-٤): منحنی های تغییرات نشست قائم در طول ریزشمع
١٣٦	شكل (٩-٤): تاثیر تغییرات طول ریزشمع بر منحنی های بار - جابجایی قائم
١٣٧	شكل (١٠-٤): نمودار تاثیر تغییرات طول بر نشست قائم ریزشمع
١٣٨	شكل (١١-٤): نمودار تاثیر تغییرات طول بر بار مجاز ریزشمع
١٣٩	شكل (١٢-٤): منحنی های تغییرات لنگر خمی در طول ریزشمع
١٣٩	شكل (١٣-٤): نمودار تاثیر تغییرات طول بر لنگر خمی ماکریم
١٤١	شكل (١٤-٤): منحنی های تغییرات نشست قائم در طول ریزشمع
١٤١	شكل (١٥-٤): تاثیر تغییرات زاویه میل بر منحنی های بار - جابجایی قائم
١٤٢	شكل (١٦-٤): نمودار تاثیر تغییرات زاویه میل بر نشست قائم برای بار ثابت ٥٠ تن
١٤٢	شكل (١٧-٤): نمودار تاثیر تغییرات زاویه میل بر نشست قائم تحت بار مجاز
١٤٣	شكل (١٨-٤): نمودار تاثیر تغییرات زاویه میل بر بار مجاز
١٤٤	شكل (١٩-٤): منحنی های تغییرات لنگر خمی در طول ریزشمع
١٤٤	شكل (٢٠-٤): نمودار تغییرات زاویه میل بر لنگر خمی ماکریم تحت بار مجاز
١٤٥	شكل (٢١-٤): منحنی های تغییرات نشست قائم در طول ریزشمع
١٤٦	شكل (٢٢-٤): تاثیر تغییرات طول ریزشمع بر منحنی های بار - جابجایی قائم برای $\alpha = 10^\circ$
١٤٧	شكل (٢٣-٤): تاثیر تغییرات طول ریزشمع بر منحنی های بار - جابجایی قائم برای $\alpha = 15^\circ$
١٤٧	شكل (٢٤-٤): تاثیر تغییرات طول ریزشمع بر منحنی های بار - جابجایی قائم برای $\alpha = 20^\circ$
١٤٨	شكل (٢٥-٤): تاثیر تغییرات طول ریزشمع بر منحنی های بار - جابجایی قائم برای $\alpha = 30^\circ$
١٤٨	شكل (٢٦-٤): تاثیر تغییرات طول ریزشمع بر منحنی های بار - جابجایی قائم برای $\alpha = 35^\circ$
١٥٠	شكل (٢٧-٤): تاثیر تغییرات طول و زاویه میل ریزشمع بر منحنی های بار - جابجایی قائم
١٥٠	شكل (٢٨-٤): منحنی های نشست قائم در برابر زاویه میل ریزشمع
١٥١	شكل (٢٩-٤): منحنی های تغییرات نشست در برابر طول ریزشمع
١٥٢	شكل (٣٠-٤): منحنی های طراحی بر اساس حداقل لنگر خمی در مقابل طول ریزشمع
١٥٢	شكل (٣١-٤): منحنی های طراحی بر اساس حداقل لنگر خمی در مقابل محور بی بعد L/D
١٥٣	شكل (٣٢-٤): تاثیر تغییرات زاویه اصطکاک داخلی بر منحنی های بار - جابجایی قائم
١٥٤	شكل (٣٣-٤): نمودار تاثیر تغییرات زاویه اصطکاک داخلی بر نشست قائم ریزشمع
١٥٥	شكل (٣٤-٤): منحنی های تغییرات لنگر خمی در طول ریزشمع
١٥٥	شكل (٣٥-٤): نمودار تاثیر تغییرات زاویه اصطکاک داخلی بر لنگر خمی ماکریم
١٥٦	شكل (٣٦-٤): منحنی های تغییرات نشست قائم در طول ریزشمع

فهرست اشکال

صفحه	عنوان
۱۵۷	شکل (۳۷-۴): تاثیر تغییرات چسبندگی خاک بر منحنی های بار- جابجایی قائم
۱۵۸	شکل (۳۸-۴): نمودار تاثیر تغییرات چسبندگی بر نشست قائم ریزشمع
۱۵۸	شکل (۳۹-۴): منحنی های تغییرات لنگر خمی حداقل در طول ریزشمع
۱۵۹	شکل (۴۰-۴): نمودار تاثیر تغییرات چسبندگی بر لنگر خمی حداقل
۱۵۹	شکل (۴۱-۴): منحنی های تغییرات نشست قائم در طول ریزشمع

فصل اول:

گھنات

فصل اول

کلیات

۱-۱- مقدمه

استفاده از ریزشمع‌ها^۱ از دهه ۵۰ میلادی و به خصوص از اواسط دهه ۸۰ میلادی به صورت قابل توجهی رشد یافته است. اساساً ریزشمع‌ها به عنوان المان‌هایی برای تقویت پی^۲ در راستای مقاومت، در مقابل بارگذاری‌های استاتیکی و لرزه‌ای، تسلیح شیب‌ها و پایدارسازی دیواره‌گودها و ... مورد استفاده قرار می‌گیرند. بطور کلی در مواجهه با خاک‌های مسئله‌دار نظیر خاک‌های سست با قابلیت باربری کم، نشست‌پذیری زیاد، روانگرا، خاک‌های دستی و ... دو راه پیش روی مهندسین ژئوتکنیک قرار دارد:

(۱) استفاده از المان‌های باربر در خاک

(۲) بهسازی و اصلاح خواص فیزیکی - مکانیکی توده خاک

هر یک از راه حل‌های فوق دارای روش‌ها و مشخصات مربوط به خود می‌باشد که طی سالیان متعددی توسعه فراوانی یافته‌اند. برخی از تکنیک‌های ابداعی نیز ماهیتی ترکیبی از دو دسته فوق داشته و مزایای هر دو دسته را بهمراه دارند. یکی از جدیدترین، سریعترین و با صرفه‌ترین روش‌ها برای تحکیم و افزایش مقاومت زمین‌هایی که قابلیت باربری لازم جهت احداث سازه‌های مورد نظر برروی آنها را ندارند، استفاده از ریزشمع و تزریق دوغاب سیمان می‌باشد که به وسیله این تکنیک علاوه بر تغییر مشخصات مکانیکی و ژئوتکنیکی خاک و افزایش مقاومت آن می‌توان از توان باربری خود ریزشمع نیز به عنوان المان باربر استفاده نمود.

¹-Micropiles

²-Underpinning

ریزشمع‌ها به شمع‌های لوله‌ای با قطر کوچک (کمتر از ۳۰۰ میلی‌متر) اطلاق می‌گردد که غالباً با حفر گمانه، تسلیح فولادی سبک و تزریق دوغاب سیمان همراه می‌باشند. مناسب با خواص اولیه خاک و مشخصات دوغاب، انجام عملیات تزریق سبب بهبود خواص اولیه خاک می‌گردد. بدین صورت که در خاک‌های دانه‌ای، دوغاب سیمان در حفرات و فضای خالی توده خاک نفوذ کرده و با ایجاد یک ناحیه سخت اطراف گمانه تزریق، تا شعاع مفروضی خواص خاک را بهبود می‌بخشد و در خاک‌های ریزدانه و چسبنده تزریق تحت فشار دوغاب سیمان، سبب ایجاد ترک در توده خاک شده که با نفوذ دوغاب اسکلتی بهم پیوسته و سخت از خاک و دوغاب شکل می‌گیرد. با توجه به ویژگی‌های خاص آنها، دارای قابلیت و مزایای خوبی می‌باشند که باعث استفاده روز افزون این تکنولوژی در مقاوم‌سازی پی‌ها گردیده است. از جمله این مزایا می‌توان به موارد زیر اشاره کرد:

۱) اجرای ریزشمع‌ها کمترین درجه دست خوردگی را در محیط خاک ایجاد می‌کند و نیز حجم خاکبرداری در اجرای آن کم است.

۲) می‌توان آنها را به راحتی تحت هر زاویه نسبت به قائم اجرا نمود.

۳) با توجه به سبکی و کوچک بودن تجهیزات نصب ریزشمع‌ها و از آنجایی که فرآیند اجرای آنها ارتعاش و صدای کمی تولید می‌کند، جهت مقاوم‌سازی پی‌ها موجود و در مکان‌هایی با دسترسی دشوار و مسقف با ارتفاع بالاسری کم هم قابل استفاده هستند.

۴) ریزشمع‌های مایل قابلیت تحمل بارهای جانبی و قائم را دارند.

۵) در انواع شرایط بارگذاری از انعطاف‌پذیری بالایی برخوردار هستند.

با توجه به مطالعات اخیر، عملکرد مناسبی از ریزشمع‌ها دیده شده است با این حال هنوز مطالعات کافی در این خصوص انجام نشده و لزوم تحقیق بیشتر در زمینه درک دقیق از رفتار ریزشمع‌ها بسیار ضروری و مشهود می‌باشد. این موضوع باعث استفاده از تحلیل‌های عددی مانند اجزای محدود در بررسی و تحقیق عمیق‌تر رفتار ریزشمع‌ها شده است.